

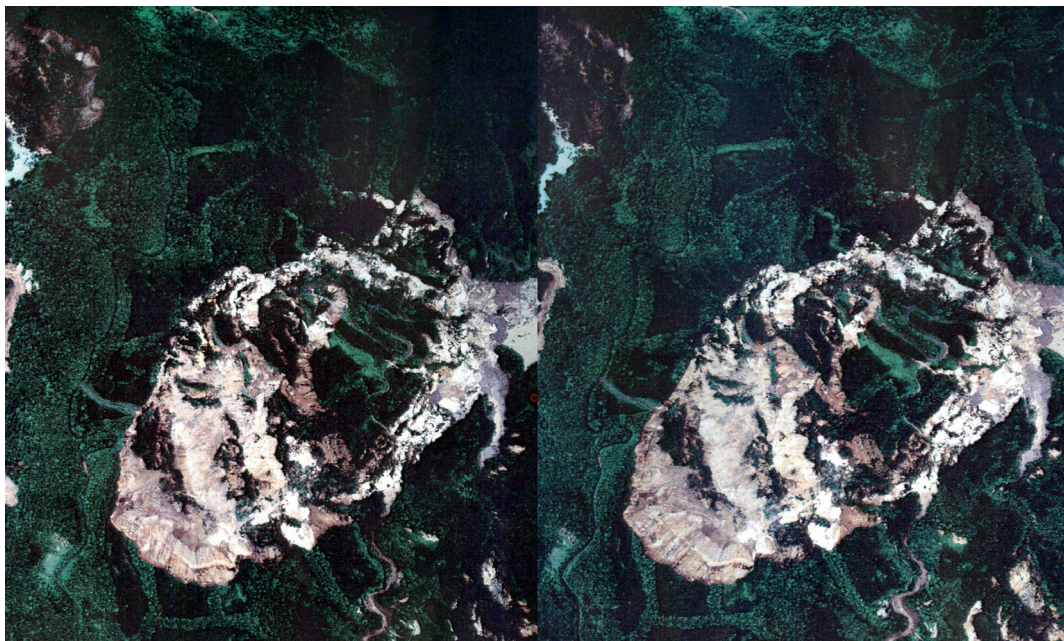
2008年岩手・宮城内陸地震災害調査報告 43号口絵

その他（別言語等） のタイトル	2008年岩手・宮城内陸地震災害調査報告
雑誌名	主要災害調査
巻	43
発行年	2010-03
URL	https://nied-ir.bosai.go.jp/?action=repository_uri&item_id=1520



口絵 1 二迫川上流，荒砥沢ダムの直上で発生した巨大地すべり全景（共同通信社提供）

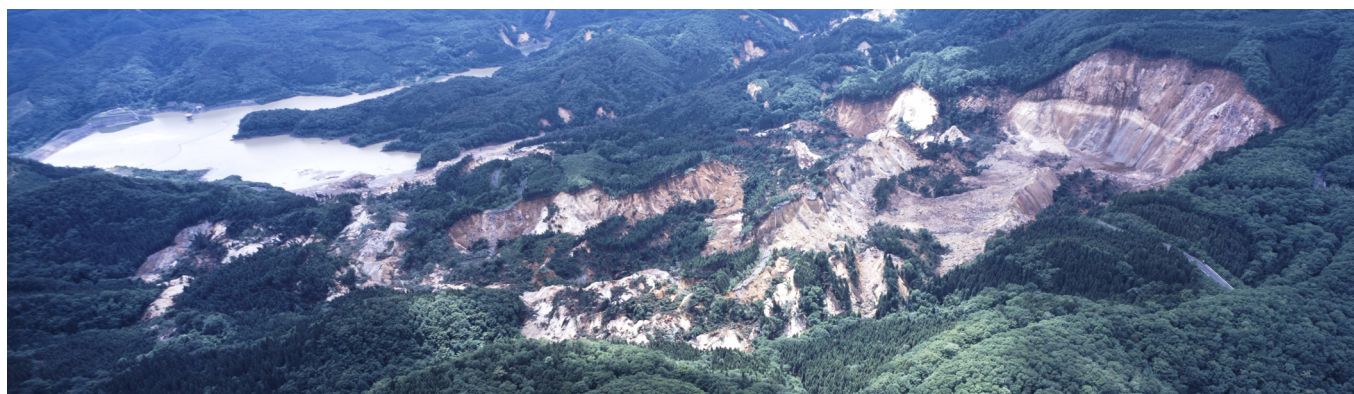
Fig. 1 Gigantic landslide upstream from the Aratozawa Dam on the Nihasama River (Kyodo Press).



口絵 2 荒砥沢地すべりの垂直空中写真ステレオペア (アジア航測撮影)
 Fig. 2 Aerial photograph of the Aratozawa landslide (stereo pair).



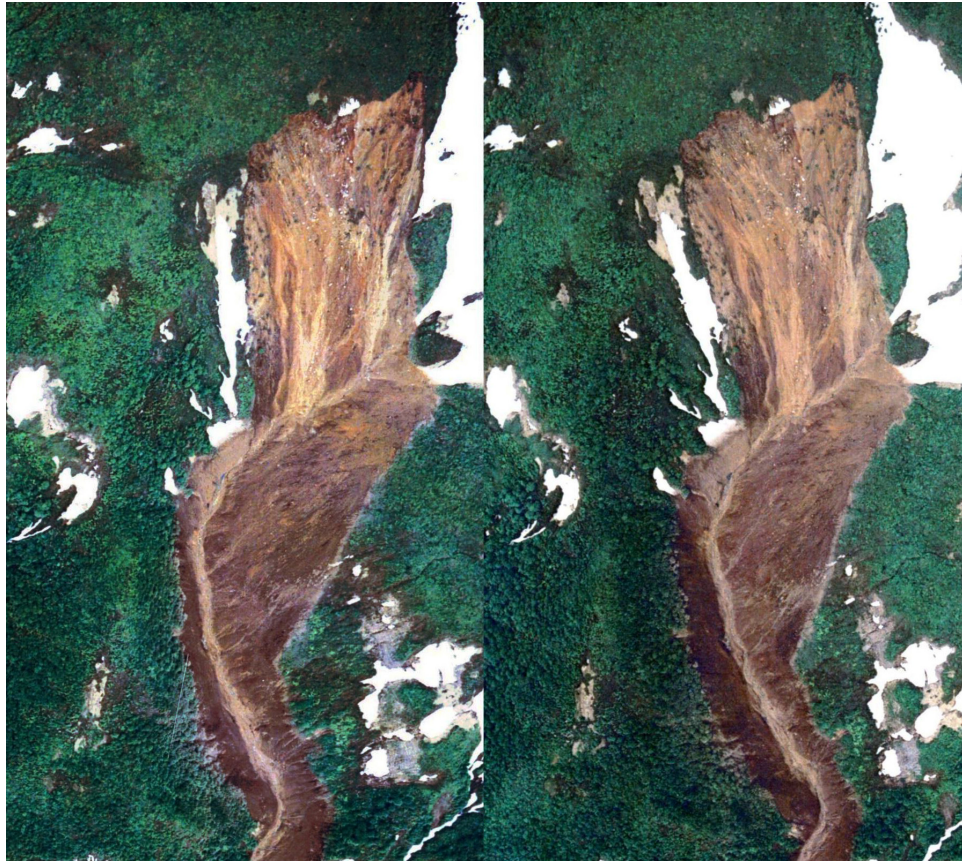
口絵 3 荒砥沢地すべりの斜め空撮写真ステレオペア (撮影：井口隆)
 Fig. 3 Bird's eye photograph of the Aratozawa landslide (stereo pair).



口絵 4 荒砥沢地すべりの斜め空撮写真 (撮影：井口隆)
 Fig. 4 Bird's eye photograph of the Aratozawa landslide.



口絵 5 宮城県栗原市荒砥沢地すべりの変動判読図 (判読：大八木規夫，写真：アジア航測撮影)
 Fig. 5 Air-photograph interpretation map of Aratozawa landslide (by Norio Oyagi).



口絵 7 駒ヶ岳の湯温泉を襲った土石流の起源である栗駒山山腹の地すべり（アジア航測撮影）
Fig. 7 Landslide in the Mt. Kurikoma hillside, which is the beginning of an debris flow, when
 a hot spring in Akita Komaga-take was struck (Asia Air Survey).



口絵 8 駒の湯温泉付近の土石流による被災状況（アジア航測撮影）
Fig. 8 Aftermath of the debris flow shown around Komanoyu hot spring (Asia Air Survey).



口絵 9 2008 年岩手・宮城内陸地震により落橋した祭時大橋と槻木平，市野々原において河道閉塞の生じた磐井川（岩手県一関市）（撮影：青井 真）

Fig. 9 Matsurube Bridge and Iwai River (Ichinoseki City, Iwate Prefecture).



口絵 10 祭時大橋と KiK-net 一関西観測点（撮影：青井 真）

Fig. 10 Matsurube Bridge and KiK-net West-Ichinoseki observation station



口絵 11 祭時大橋の近景（撮影：青井 真）
Fig. 11 Close-up view of Maturube Bridge.



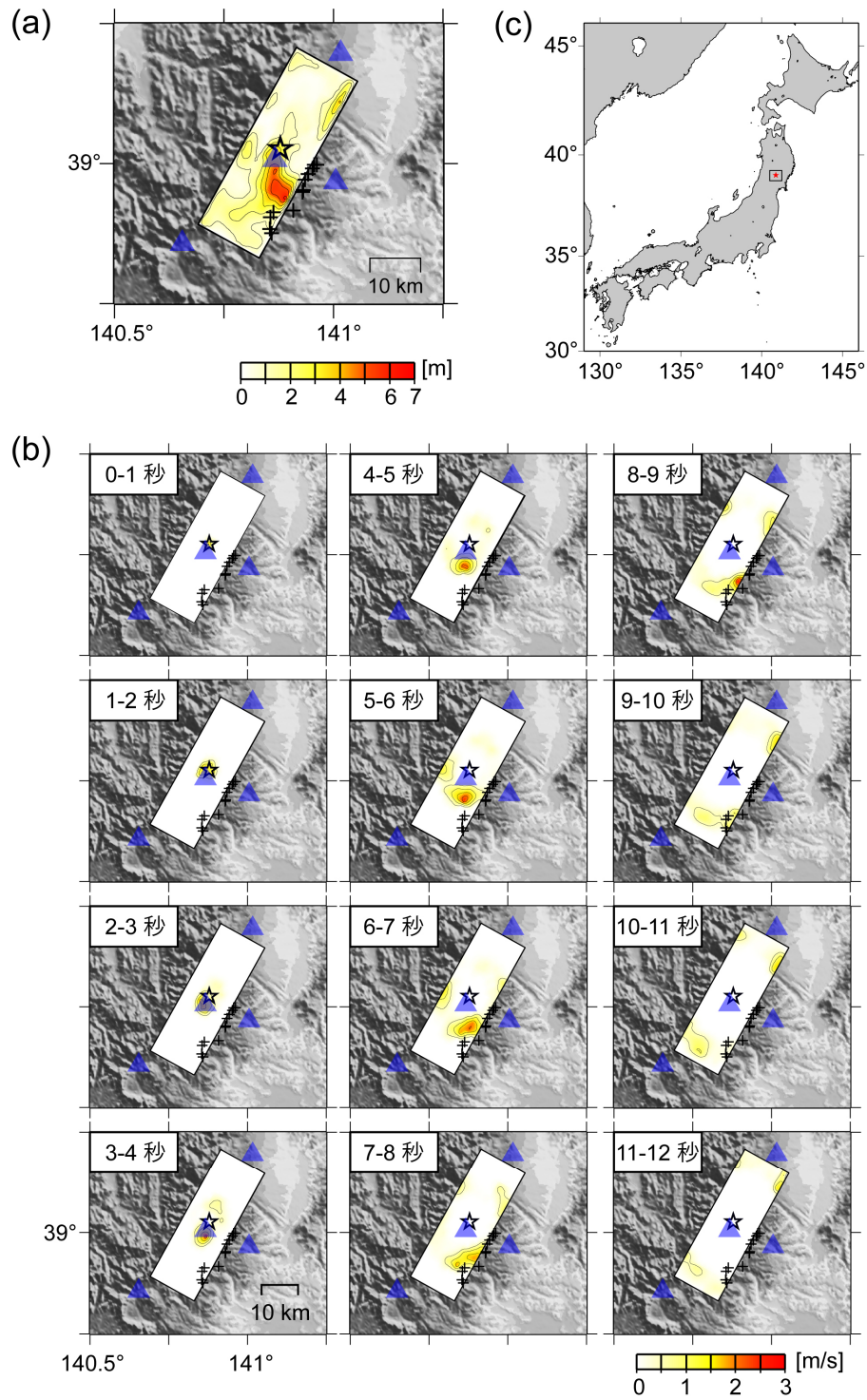
口絵 12 KiK-net 一関西観測点の遠景(左)と近景(右)（撮影：青井 真）
Fig. 12 KiK-net West-Ichinoseki observation station.



口絵 13 岩手県一関市祭時の国道 342 号線に見られた地割れ（撮影：青井 真）
Fig. 13 Crack on the Route 342 at Maturube near KiK-net West-Ichinoseki station.



口絵 14 岩手県一関市矢櫃ダム左岸の岩盤崩落（撮影：青井 真）
Fig. 14 Rock block failure at Yabitsu Dam (Ichinoseki City, Iwate Prefecture).



口絵 15 強震記録を用いて推定された(a)最終すべり分布および(b)1秒ごとのすべりの時間発展の地表投影図。(c)に地図の範囲を示す。星印は破壊開始点(震央)、三角は解析に用いた強震観測点、十字は地表断層の出現位置を示す。

Fig. 15 Source inversion result using the strong-motion records : (a) Total slip distribution and (b) slip progression projected on the map, region of which is shown in (c). The star, triangles, and crosses indicate the rupture starting point (epicenter), the strong-motion stations, and the locations of surface ruptures, respectively.



口絵 16 岩手県一関市柵木立地区にて出現した地表断層。水田中の矢印で挟まれた部分に上下の食い違いが見られる。断層は奥の木立を通り越して続いており、この食い違いのために木立の最も左に位置する2本の木が傾いている。(撮影：鈴木 亘)

Fig. 16 Surface rupture observed at Hanokidachi (Ichinoseki City, Iwate Prefecture). Linear vertical offset is found in the rice field as indicated by the white arrows.



口絵 17 宮城県栗原市荒砥沢ダム右岸の道路に出現した地表断層 (撮影：鈴木 亘)

Fig. 17 Surface rupture observed at Aratozawa Dam.